

고정화 미생물에 의한 에너지 생산 광합성 박테리아에 의한 수소 생산 -

조영일 · 선용호

(연세대학교 공과대학 화학공학과)
(1985년 8월 20일 수리)

Biofuel Production by Immobilized Living Cells - Hydrogen Production by Photosynthetic Bacteria -

Yung-il Joe and Yong Ho Seon

Department of Chemical Engineering, Yonsei University
(Received August 20, 1985)

Continuous production of hydrogen by Ca alginate-immobilized photosynthetic bacteria was studied in a packed-bed bioreactor. The dilution rate and input concentration of carbonaceous substrate were selected as operating parameters. To choose the strain for immobilization, hydrogen productivities of *Rhodospseudomonas capsulata* 10006 and *Rhodospirillum rubrum* KS-301 were compared through preliminary batch cultures of their free cells: the former was found to show better hydrogen productivity in spite of its lower specific growth rate. For the continuous production of hydrogen by immobilized *R. capsulata*, the optimum dilution rate was about 0.84 h^{-1} . The immobilized cells gave better hydrogen yield and conversion efficiency than free ones. And a kinetic parameter K_m was determined for the packed-bed bioreactor; being practically constant for a specific range of dilution rates.

최근 생물학적 방법에 의한 대체 에너지 생산에 관한 연구가 활발하게 진행되고 있다. 이 중 수소는 이른바 clean energy로 기대되는 것으로, 미생물의 대사 기능을 이용하는 방법과 태양 에너지를 활용하는 전기 화학적 방법등이 연구되고 있다⁽¹⁻⁴⁾.

생물학적 수소 생산에 있어서는, 광합성 및 혐기성 박테리아, 조류등이 연구의 대상이 되고 있다⁽⁵⁻⁷⁾ 광합성 박테리아의 경우, 빛의 존재하에서 *Rhodospirillum rubrum* 이 수소를 생성한다는 사실을 Gest등⁽⁸⁾이 보고한 이래, Zürrer등⁽⁹⁾은 유기성 폐수를 이용하였고, Hillmer등⁽¹⁰⁾은 *Rhodospseudomonas capsulata*에 관하여 연구하였다. 최근에는 자유 세포(free cell)뿐 아니라 고정화 세포의 이용이 시도되고 있다⁽¹¹⁻¹⁵⁾.

본 연구에서는 고정화 미생물에 의한 수소 연속 생산 가능성 검토의 일환으로, 고정화 광합성 미생물 충전층 반응기의 조작 특성 일부를 규명하고자

하였다. 먼저 *R. rubrum* 과 *R. capsulata* 의 자유 세포를 사용한 회분 실험을 통하여 수소 생산성을 비교하였다. 이어서 고정화 *R. capsulata* 의 충전층 반응기에서 연속 수소 생산 실험을 행하고, 도입 기질 농도와 회석 속도의 영향을 검토하였으며, 겔보기 Michaelis 상수를 평가하였다.

속도론

고정화 세포에 대하여 Fig. 1 과 같은 간단한 모델을 가정한다. 여기서 확산에 의한 기질의 플럭스 J_d 는 $J_d = -D \text{ grad } S$

$$= D(S_o - S_1) / L \quad (1)$$

박테리아 표면에서의 반응 속도는, 고정화 담체 내부에서의 균체의 실질증식을 무시할 때, Michaelis-Menten 형에 따른다고 본다.

$$v = V_m S_1 / (K_m + S_1) \quad (2)$$

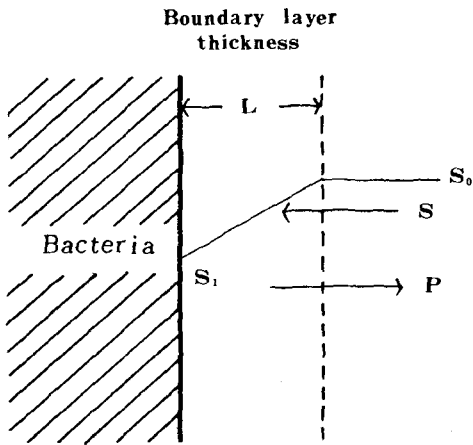


Fig. 1. Immobilized bacterial system

어느 편이 율속이거나 간에, 정상 상태에서는

$$J_a = v \tag{3}$$

이다. 이들 관계식으로부터 v 의 유효 근사해를 구하면

$$v = V_m S_0 / (K'_m + S_0) \tag{4}$$

$$K'_m = K_m + L V_m / D \tag{5}$$

$L \rightarrow 0$ 이면, $K'_m = K_m$ 이 된다.

지금 고정화 균체 충전층 반응기에서, 본체 흐름 중의 기질 농도 S_0 와 균체 표면에서의 기질 농도 S_i 의 관계는 선형적이라 보면,

$$-dS_0/dt = r(-dS_i/dt) \tag{6}$$

또한 반응기에서의 기질의 총괄 전환율은 다음과 같다.

$$X = 1 - (S_0)_{out} / (S_0)_{in} \tag{7}$$

$$t = 0 \text{ 일때 } S_0 = (S_0)_{in}, \quad t = 1/D_i \text{ 일때}$$

$$S_0 = (S_0)_{out} \text{ 이므로,}$$

$$X(S_0)_{in} = K'_m \ln(1 - X) + V'_m / D_i \tag{8}$$

$$V'_m = rV_m$$

따라서 실험 자료로부터 K'_m 을 평가할 수 있다.

실험 장치 및 방법

균주

본 실험에서는 제공받은 균주 중에서 *R. capsulata* 10006과 *R. rubrum* KS-301 두 종을 사용하였다.

균주의 보관 및 배양

기본 배지로는 Ormerod basal medium⁽¹⁶⁾을 사용하였다. 전 배양에서는 기본 배지에서 탄소원으로

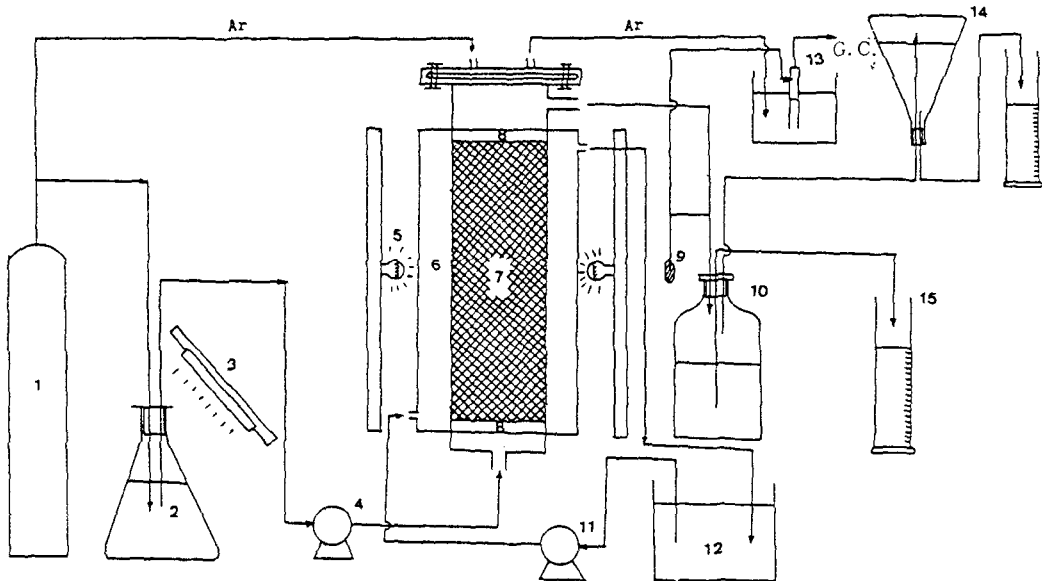


Fig. 2. Schematics of packed-bed bioreactor

- | | | | |
|----------------------|--------------------------|------------------------|------------------------|
| 1. Air tank | 2. Feed tank | 3. U. V. lamp | 4. Peristaltic pump |
| 5. Incandescent lamp | 6. Water jacket | 7. Packed bed | 8. Support (nylon net) |
| 9. Sampling port | 10. Liquid-gas separator | 11. Circulation pump | 12. Water bath |
| 13. Gas sampling tap | 14. Gas collector | 15. Graduated cylinder | |

DL-malic acid대신에 sodium lactate (30 mmol/L)와 biotin(15 μ g/L)을 첨가한 것을 사용하였다. 본 배양에서는 lactate의 농도를 변화시켰다.

회분 반응 장치 및 실험

회분 반응기로는 용량 1.5L (단면적 12 \times 5.6cm², 빛을 받는 넓이 12 \times 15cm²)인 유리 용기를 사용하였다. 배양액에는 알곤 가스를 통하여 혐기성이 되게 하였으며, 30 $^{\circ}$ C로 유지하면서 자석 교반기로 혼합하였다. 빛의 강도는 12000Lux이었다⁽¹⁶⁾ Lactate 초기 농도는 5, 10, 20, 30, 50, 100 mmol/L로 각각 변화시켰다.

연속 반응 장치 및 실험

반응기는 Fig. 2에 나타낸 것처럼 두께 3mm의 아크릴 수지 판으로 제작하였으며, 부피는 0.4L (단면적 2 \times 10cm², 높이 20cm)이었다. 반응기 상부에는 나일론 망을 설치하여 고정화 bead의 부상을 방지하였다. 미량 펌프로 반응기 하부에 도입한 기질 용액은 상부에서 생성기체와 분리된 후 자연 일류되도록 하였다.

Ca alginate법에 의한 *R. capsulata*의 고정화는 통상적 방법에 의하였다^(11,12). Bead의 평균 크기는 3.0mm, 공극율은 0.318이었다.

한편 충전층 반응기 조작 조건은 Table 1과 같다. 도입 기질 용액 중에는 젤 안정제로서 염화칼슘 3g/L를 첨가하였다. 정상 상태는 수소 생성 속도와 잔류 lactate 농도가 일정하게 유지될 때로

Table 1. Operating conditions of packed-bed reactor.

Item	Quantity
Reactor	
Bottom area (cm ²)	2 \times 10
Height (cm)	20
Total volume (cm ³)	400
Working volume (cm ³)	360
Packed-bed volume (cm ³)	300
Void fraction of Ca alginate bead	0.318
Illuminated area (cm ²)	180 (10 \times 18)
Illumination (Lux)	12000
Flow rate (cm ³ /h)	20-100
Inlet sodium lactate concentration (mmol/L)	30, 50
Inlet pH	6.9
Reaction temperature ($^{\circ}$ C)	30

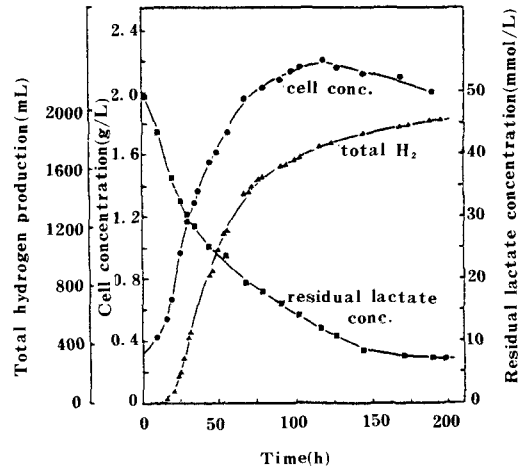


Fig. 3. Time course of total hydrogen production, cell concentration, and residual lactate concentration for the batch culture of *R. capsulata* (Initial lactate conc. =50mmol/L).

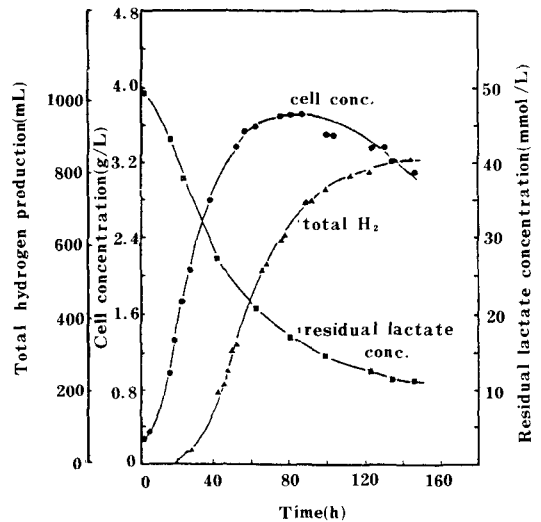


Fig. 4. Time course of total hydrogen production, cell concentration, and residual lactate concentration for the batch culture of *R. rubrum*. (Initial lactate conc. =50mmol/L).

하였다.

분석

균체는 분광 광도계로 O.D. (660nm)를 측정하고 건조 질량으로 환산하였다. Lactate의 농도는 Barker 등의 방법으로⁽¹⁷⁾, 생성 기체는 가스 크로마토그래피로 분석하였다⁽⁸⁾.

실험 결과 및 고찰

회분 실험

*R. capsulata*와 *R. rubrum*의 회분 배양 결과를 Fig. 3 ~ 6에 보였다.

Fig. 3과 4는 각각 sodium lactate 초기 농도 50 mmol/L일 때의 *R. capsulata*와 *R. rubrum*의 균체 농도, 잔류 sodium lactate 농도, 누적 수소 생성량의 시간적 변화를 보인 것이다. Sodium lactate의 초기 농도를 5, 10, 20, 30, 100mmol/L로 하였을 때 동일한 경향의 실험 결과를 얻었다.

실험결과로부터 Lineweaver-Burk plot (Fig. 5)으로 Monod식 상수들을 구하면 다음과 같다.

	μ_m (1/h)	K_s (g/L)
<i>R. capsulata</i>	0.062	0.128
<i>R. rubrum</i>	0.088	0.064

Fig. 6은 수소 비생성 속도를 보인 것이다.

이상의 회분 배양 결과를 종합하면 Table 2와 같다. *R. capsulata*는 *R. rubrum*에 비하여 균체의 비증식 속도 및 수량은 작지만, 수소의 비생성 속도, 수량, 전환율 등은 오히려 큼을 알 수 있다.

고정화 *R. capsulata*에 의한 연속 수소 생산

자유 균체의 회분 배양 결과, *R. capsulata*의 수소 생산성이 좋았으므로, 이의 고정화 균체를 충전

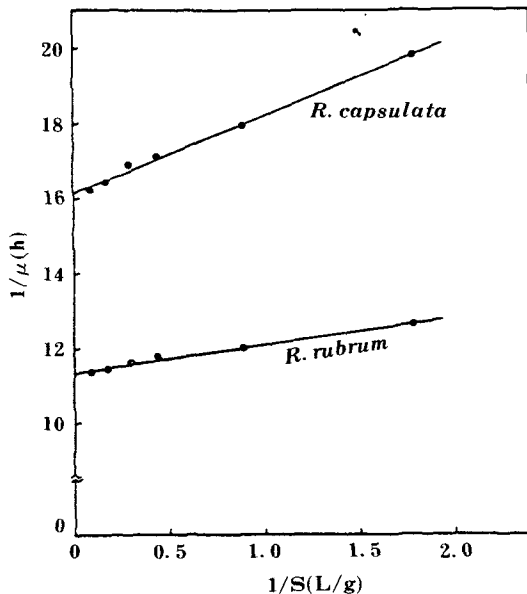


Fig. 5. Lineweaver-Burk plot for the growth of *R. capsulata* and *R. rubrum*.

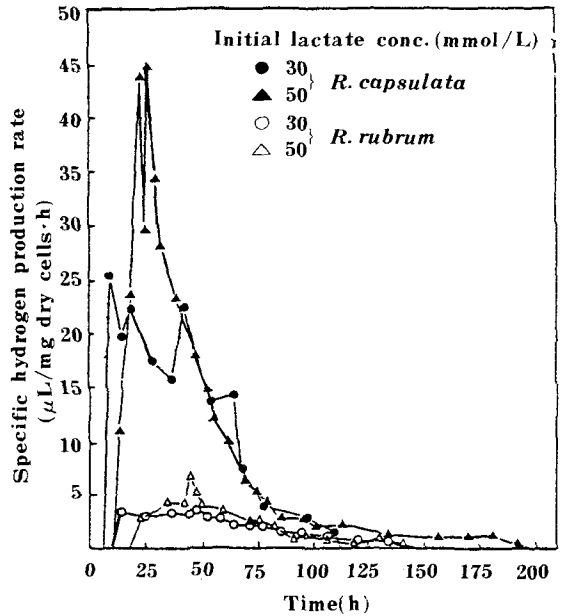


Fig. 6. Effect of initial lactate concentration on specific hydrogen production rate.

Table 2. Kinetic parameters obtained from batch experiments.

Kinetic parameter	Strain	Initial lactate conc.	
		30mmol/L	50mmol/L
Specific hydrogen production rate, q_p (mmol/g·h)	<i>R. capsulata</i>	1.035	0.731
	<i>R. rubrum</i>	0.144	0.176
Specific lactate utilization rate, q_s (mmol/g·h)	<i>R. capsulata</i>	0.390	0.232
	<i>R. rubrum</i>	0.141	0.153
Cell yield, $Y_{x/s}$ (g/g)	<i>R. capsulata</i>	0.385	0.393
	<i>R. rubrum</i>	0.922	0.790
Hydrogen yield, $Y_{p/s}$ (mol/mol)	<i>R. capsulata</i>	2.410	2.025
	<i>R. rubrum</i>	1.091	0.975
Hydrogen yield, $Y_{p/x}$ (mmol/g)	<i>R. capsulata</i>	55.86	45.97
	<i>R. rubrum</i>	10.57	11.01
Hydrogen conversion efficiency, (%)*	<i>R. capsulata</i>	40.23	33.75
	<i>R. rubrum</i>	18.18	16.25
Lactate conversion, (%)	<i>R. capsulata</i>	78.27	85.50
	<i>R. rubrum</i>	77.67	77.60

*Based on the theoretical value (6 mol of hydrogen formed per 1 mol of lactate)

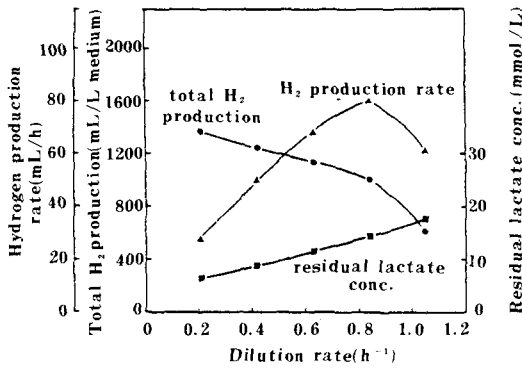


Fig. 7. Change of total hydrogen production, hydrogen production rate, and residual lactate concentration with dilution rate at steady state continuous culture of immobilized *R. capsulata*.

(Initial lactate concentration = 30 mmol/L).

한 충전층 반응기에서 수소 연속 생산 실험을 행하였다. 이때 lactate의 도입 농도는 30 및 50 mmol/L로 하고, 희석 속도는 0.21~1.05 h⁻¹의 범위에서 변화시켰다 (Fig. 7~10).

(1) 도입 lactate 농도 및 희석 속도의 영향

Fig. 7은 도입 lactate 농도 30 mmol/L 일 때의 희석 속도에 따른 정상 상태 수소 생성량 (mL/L 도입 배양액), 수소 생성 속도 (mL/h), 잔류 lactate 농도 (mmol/L 배양액)의 변화를 보인 것이다. Fig. 8은 도입 lactate 농도 50 mmol/L인 경우의 실험 결

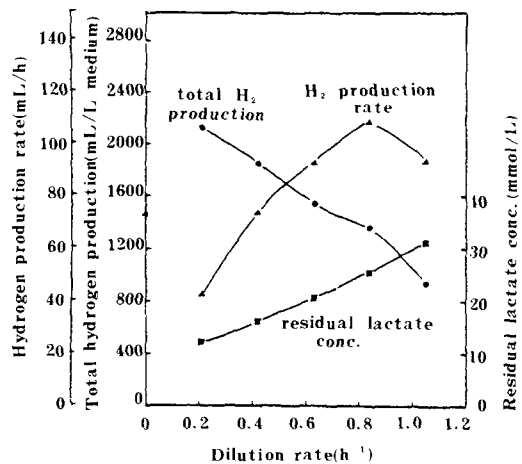


Fig. 8. Change of total hydrogen production, hydrogen production rate, and residual lactate concentration with dilution rate at steady state continuous culture of immobilized *R. capsulata*.

(Initial lactate concentration = 50 mmol/L).

과이다.

수소 생성량 (mL/L 도입 배양액)은 희석 속도가 작을수록 많고 잔류 lactate 농도는 희석 속도가 커질수록 증가하지만, 수소 생성 속도는 희석 속도의 증가와 함께 커지다가 다시 작아짐을 알 수 있다. 수소 생성 속도가 최대가 되는 것은 희석 속도 0.84 h⁻¹ 정도인 때로서, 도입 lactate 농도 30 및 50 mmol/L일 때, 각각 80.1 및 108.2 mL/h이었다.

이상의 실험 결과로부터 수소 비생성 속도, lactate 비소비 속도, 수소 수량 등을 구하여 종합하면, Fig. 9 및 10과 같다.

수소 비생성 속도 및 lactate 비소비 속도 역시 희석 속도의 증가에 따라 커지다가 작아지는데, 희석 속도 0.84 h⁻¹ 부근에서 최대값이 된다. 도입 lactate 농도 30 및 50 mmol/L일 때의 수소 비생성 속도의 최대값은 각각 5.95 및 8.04 mmol/g·h이고, lactate 비소비 속도의 최대값은 각각 2.10 및 3.30 mmol/g·h이다.

한편 lactate 기준의 수소 수량은, 희석 속도가 큰 경우를 제외하고는 크게 달라지지 않는데, 각각 2.6~2.8 및 2.3~2.4 mol/mol 정도이었다. 이때 수소 전환율은 각각 43.3~47.0 및 38.8~41.2% 정도가 된다.

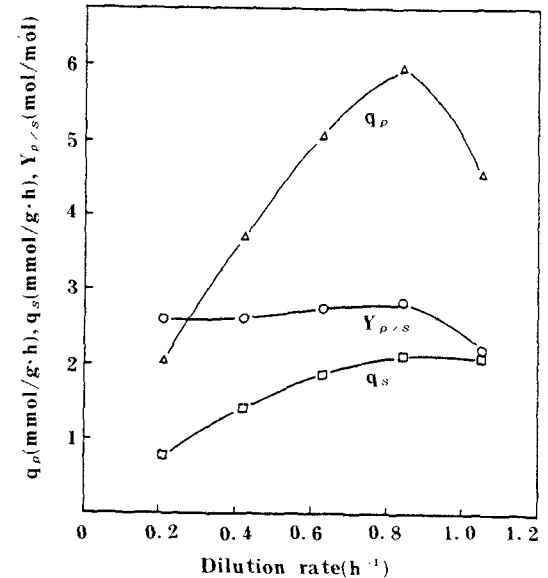


Fig. 9. Change of specific hydrogen production rate (q_p), specific lactate utilization rate (q_s), and hydrogen yield ($Y_{p/s}$) with dilution rate at steady state continuous culture of immobilized *R. capsulata*.

(Initial lactate concentration = 30 mmol/L).

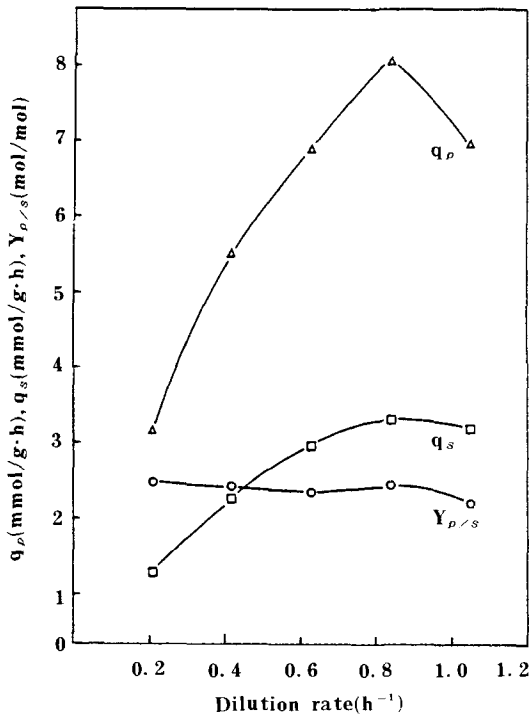


Fig. 10. Change of specific hydrogen production rate (q_p), specific lactate utilization rate (q_s), and hydrogen yield ($Y_{p/s}$) with dilution rate at steady state continuous culture of immobilized *R. capsulata*. (Initial lactate concentration = 50 mmol/L).

여기에서 자유 균체와 고정화 균체의 수소 생성능을 비교하기 위하여 다음과 같은 총괄 효율 인자를 정의한다⁽¹⁸⁾.

$$\eta = \frac{\text{고정화 균체에서의 최대 수소 비생성 속도}}{\text{자유 균체에서의 최대 수소 비생성 속도}}$$

본 실험의 경우, 총괄 효율 인자는 lactate 초기 농도 30 mmol/L인 경우 1.9—5.7, lactate 초기 농도 50 mmol/L인 경우에는 4.3—11.0 정도가 된다. 이 결과는 보다 세밀하게 검토하여 보아야 할 소지가 있으나, 고정화에 의하여 수소 비생성 속도가 상당히 커짐을 나타내는 것이다. 실험 결과를 비교하면, 수소 수량 및 수소 전환율도 고정화에 의하여 다소 증가함을 알 수 있다.

(2) 속도식의 고찰

실험 결과를 사용하여 식 (8)에 의하여 총진층 반응기에 대한 겔보기 Michaelis 상수 K'_m 값을 구하면 다음과 같다.

D_t (1/h)	0.21	0.42	0.63	0.84	1.05
K'_m (g/L)	175	144	143	140	131

이 결과는 유속이 증가하면 경계층의 두께가 감소하게 되는 일반적 경향을 나타내는 것으로 볼 수 있다. 그러나 최적 속도 0.21 h⁻¹인 경우를 제외하고는 거의 일정한 값으로 보아도 좋을 것인데, 이는 Ca alginate법에 의한 고정화 균체를 이용한 수소 생산에 있어서, 최적 속도가 어떤 값 이상이 되면 외부 물질 전달 저항이 크게 문제가 되지 않음을 의미하는 것으로 볼 수 있다. 그러나 이 문제는 고정화 균체 bead의 모델을 한층 현실화하고 bead의 크기를 변화시켜서 행한 실험을 통하여 보다 정밀하게 검토하여 보아야 할 것이다.

결 론

고정화 광합성 균체를 이용하여 대체 에너지 물질의 하나인 수소의 연속 생산에 관하여 실험한 결과, 다음과 같은 결론을 얻을 수 있었다.

1. 자유 균체를 사용한 회분 실험 결과, 균체의 비중속 속도는 *R. rubrum*이 크지만, 수소 생산성은 *R. capsulata*가 우수한 것으로 판명되었다.
2. *R. capsulata*의 Ca alginate 고정화 균체를 충전한 충전층 반응기에서, 도입 sodium lactate 농도와 회석 속도를 조작 변수로 하여 연속 수소 생산 실험을 행한 결과, 회석 속도 0.84 h⁻¹ 부근에서 수소 생산성이 가장 좋았다.
3. 고정화 균체의 경우가 자유 균체에 비하여 수소 수량 및 수소 전환율이 다소 증가하였다.
4. 충전층 반응기에서 겔보기 Michaelis 상수 K'_m 을 평가할 수 있었는데, 회석 속도가 0.42 h⁻¹ 이상인 범위에서는 거의 일정하였다.

후기

(1) 본 연구는 한국 학술진흥재단의 1984년도 연구비 지원에 의하여 수행된 것으로, 당 재단에 감사드립니다.

(2) 균주를 제공하여 주신 고 영희 님과 김 병홍 님 (한국 과학 기술원), 이 현순 님 (성균관 대학교), 가루베 이사오 님 (동경 공업 대학)과, 실험 수행을 적극적으로 도와준 강 호철, 김 중성, 한 정우, 홍 영식 군께 감사드립니다.

사용기호

- D : molecular diffusivity of substrate in liquid (m²/h)
- D_t : dilution rate (h⁻¹)

J_d	: flux due to diffusion for substrate (mol/m ² ·h)
K_m	: Michaelis constant (mol/L)
K'_m	: apparent Michaelis constant (mol/L)
K_s	: saturation constant (mol/L)
L	: effective boundary-layer thickness (m)
P	: product
S	: substrate or substrate conc. (mol/L)
S_0	: substrate conc. in bulk solution (mol/L)
$(S_0)_{in}$: substrate conc. in bulk solution at column inlet (mol/L)
$(S_0)_{out}$: substrate conc. in bulk solution at column outlet (mol/L)
S_1	: substrate conc. at immobilized bacteria surface (mol/L)
V_m	: maximum reaction rate
V'_m	: = rV_m
X	: overall conversion in the packed-bed
r	: proportionality constant
t	: time (h)
v	: reaction rate
μ	: specific growth rate (h ⁻¹)
μ_m	: maximum specific growth rate (h ⁻¹)
η	: effective factor

참고문헌

- 조영일, 박돈희, 화학공업과 기술, **1**(2), 13 (1984).
- 강호철, 석사학위논문, 연세대학교 대학원,
- Pimental, D., et al.: *Solar Energy*, **30**(1), 1(1983).
- Kodratieva, E.N. and I.V. Gogotov : *Adv. in Biochem. Eng.*, **28**, 139 (1983).
- Kim, J.S., H. Yamaguchi and K. Ito : *J. Ferment. Technol.*, **59**(3), 185 (1981).
- Mitsui, A., et al., "Alternative Energy Sources II", vol. 8, 1980, p. 3483.
- Aiba, S.: *Adv. in Biochem. Eng.* **23**, 85 (1982).
- Gest, H. and M.D. Kamen : *J. Bacteriol.*, **58**(2), 239 (1949).
- Zürer, H. and R. Bachofen : *Appl. Environ. Microbiol.*, **37**(5), 789 (1979).
- Hillmer, P. and H. Gest : *J. Bacteriol.*, **129**(2), 732 (1977).
- Suzuki, S., I. Karube and T. Matsunaga : *J. Biotechnol. Bioeng. Symp.*, **8**, 501 (1978).
- Brosseau, J.D. and J.E. Zajić : *Adv. in Biotechnol.*, **2**, 281 (1981).
- Liu, D.J. and C.Y. Choi : *Hwahak Konghak*, **23**(1), 9 (1985).
- Weetal, H.H., B.P. Sharma and C.C. Deter : *Biotechnol. Bioeng.*, **23**, 605 (1981).
- Cheethani, P.S. Jr., K.W. Blunt and C. Bucke : *Biotechnol. Bioeng.*, **21**, 2155 (1979).
- Ormerod, J.G., K.S. Ormerod and H. Gest : *Arch. Biochem. Biophys.*, **94**, 449 (1961).
- Barker, S.B. and W.H. Summerson : *J. Biol. Chem.*, **138**, 535 (1941).
- Sliniger, P.J., et al.: *Biotechnol. Bioeng.*, **24**, 2241 (1982).